

# 基于 Friele 模型的转杯纺黏胶混色针织物测配色系统

杨瑞华，王卓

(江南大学 生态纺织教育部重点实验室, 江苏 无锡 214122)

**摘要:**以红、黄、蓝3色原液着色黏胶短纤维为原料,采用多通道转杯纺技术,以质量比为10%的梯度纺制66种混色纱线,制备针织物样品,利用分光光度计测试其颜色特征。对 Friele 模型的关键参数 $\sigma$ 在[0,1]内进行赋值以预测样品色彩,计算得出 $\sigma=0.134$ 时双组分混色样品平均色差最小;取该值构建基于 Friele 模型的多通道转杯纺黏胶织物配色系统,利用全光谱配色法和所建模型预测3组分混色样品的配方比例,所得预测比例与实际比例间的平均比例误差为10.21%,平均色差为0.456 1。研究结果验证了所建 Friele 模型的准确性,并为完善多通道转杯纺黏胶混色纺织品智能配色系统提供了依据。

**关键词:**Frielle 模型;多通道转杯纺;黏胶纤维;混色纱;测配色

**中图分类号:**TS 182.6 **文献标志码:**A **文章编号:**2096-1928(2023)01-0031-06

## Color Matching Model of Viscose Color Blended Fabric Based on Friele Model

YANG Ruihua, WANG Zhuo

(Key Laboratory of Eco-Textile, Ministry of Education, Jiangnan University, Wuxi 214122, China)

**Abstract:**66 kinds of color blended yarns were produced by using red, yellow and blue dope dyeing viscose fiber on the multi-channel rotor spinning frame with a gradient of 10%. Knitting sample fabrics were made of blended yarn and then the color were measured with a spectrophotometer. In this paper, the model parameter  $\sigma$  of Friele model was assigned in [0, 1], and the value of  $\sigma$  0.134 was taken as the optimal value with the minimum average chromatic aberration of two-component mixed color samples, and a color matching system based on Friele model was constructed. Besides, the optimal  $\sigma$  value was verified by full spectrum color matching method. The error of average proportion between the tested value and the predicted value of the three-component mixed color samples was 10.21%, and the value of average chromatic aberration was 0.456 1. The result shows that the parameter of Friele model obtained in this paper have good prediction effect. It provides a basis to set the intelligent color matching system of viscose blended yarn in multi-channel rotor spinning.

**Key words:**Friele model, multi-channel rotor spinning, viscose fiber, color blended yarn, color matching

随着全球经济飞速发展,消费不断升级,人们对中高端纺织品的需求进一步增加。色纺纱因其具有独特的质感和风格,加工方式环保,产品个性时尚,近年来深受消费者喜爱<sup>[1]</sup>。再生纤维素纤维产品以天然植物纤维为原料,纯天然材质,自然生

物降解、无添加、无重金属、无有害化学物质,对皮肤亲和,无刺激,是一种性能优良的环保型“绿色”纤维<sup>[2]</sup>。原液着色纤维因生产方式节能减排、色牢度高、着色剂利用率高等优点引起了研究者的广泛关注<sup>[3]</sup>。原液着色再生纤维素纤维混色纱的开发

符合可持续发展理念。

传统色纺产品多在开清棉<sup>[4]</sup>、并条阶段<sup>[5]</sup>进行混合,流程长、用工多、批量大,不能满足色纺纱小批量生产的需求;同时存在包混混合比例精度受限,手混生产效率过低的问题。此外,也有小部分色纺纱利用赛络纺技术<sup>[6]</sup>,在细纱阶段进行混合,然而因其采用股线的形式完成两股纤维的混合,最终混色纱的色彩效果纵向呈现螺旋状两色混合,横向为AB色,且用于混色的单色数量受到限制,色彩不够丰富。数码转杯纺技术是一种新型色纺纱生产技术,它结合了转杯纺与数码纺的成纱特点,既具有转杯纺技术高速高效、原料适用性强、纺纱流程短的特点,也具有数码纺纱智能化、个性化、多样化的优势<sup>[7]</sup>;同时,在数码转杯纺成纱过程中,通过分梳辊的纤维在转杯内重新混合、集聚、加捻,各色纤维都会出现由外向内、再由内向外反复变换多次位置的情况,因此混色纱中纤维总体分布均匀,显色均匀性好<sup>[8]</sup>。目前,已有学者针对棉纤维<sup>[9]</sup>和毛纤维<sup>[10]</sup>的数码转杯纺混色纱进行研究,并建立了相关模型,但混色受到纺纱方法及纤维种类的影响,现有的测配色系统无法适用于黏胶数码转杯纺产品的配色。因此,文中主要针对黏胶纤维进行配色模型研究,旨在扩大数码转杯纺智能化配色系统的应用范围。

混色纱的混色效果多取决于配色精确度,为提高配色精度并提升工厂生产效率,计算机配色技术已逐渐取代人工配色。目前,常用的纤维配色模型有Stearns-Noechele 模型<sup>[11]</sup>、Kubelka-Munk 模型<sup>[12]</sup>、Frielle 模型<sup>[13]</sup>等,其中 Frielle 模型是唯一在光学理论基础上针对有色纤维混合特征而提出的配色模型。文中利用 Frielle 模型针对数码转杯纺原液着色黏胶纤维进行研究,通过分析不同有色纤维比例混色纱制成的混色针织物颜色,确定有效的模型参数并对其进行验证。

## 1 材料与方法

### 1.1 原料与仪器

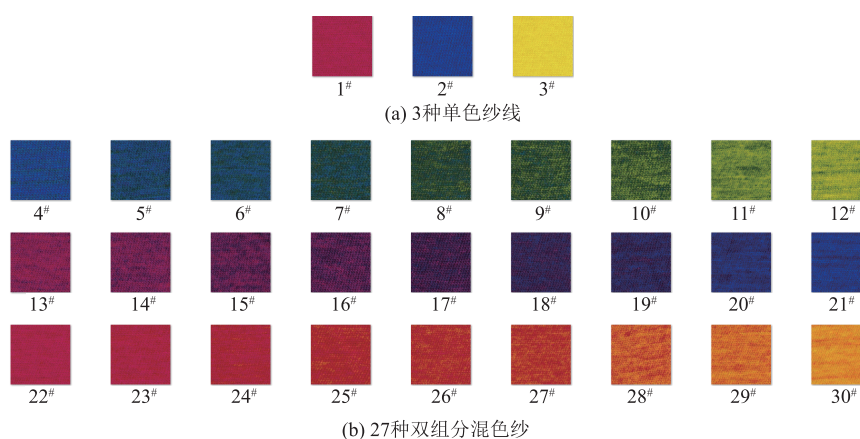
**1.1.1 原料** 洋红色(Spunshades 9818)、明黄色(Spunshades 4274)、湛蓝色(Spunshades 2925)原液着色型黏胶棉型短纤维(纤维长度 38 mm, 细度 1.33 dtex),博拉经纬纤维有限公司生产。

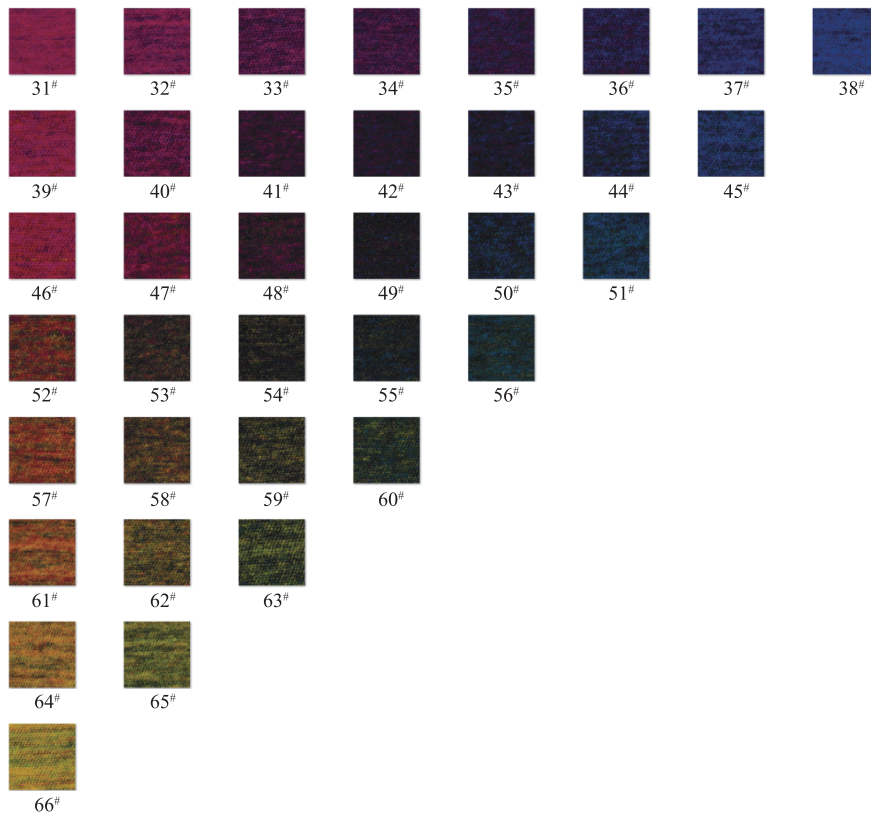
**1.1.2 仪器** FA016 型混棉机,江苏金昇实业股份有限公司制造;A186G 型梳棉机,青岛永佳纺织机械制造有限公司制造;FA320A 型并条机,南通宝成精密设备有限公司制造;THC2015 型粗纱机,同和纺织机械制造有限公司制造;TR-1 型多通道转杯纺细纱机,自制;HC21K 型小型针织圆纬机,无锡天翔针织机械有限公司制造;Datacolor 650 分光光度计,美国 Datacolor 公司制造。

### 1.2 实验方法

**1.2.1 纺纱方法** 根据原料特点,选择合适的机器型号和工艺参数,经梳棉、并条、粗纱工序将 3 种颜色的黏胶短纤分别制成粗纱,再将红、黄、蓝 3 种颜色的粗纱分别在 3 个独立罗拉的控制下同/异步喂入数码转杯纺细纱机,通过控制各个罗拉在同一时间内的喂入量(即喂入速度),实现纱线混纺比例的调控,进而经集棉器和给棉罗拉进入分梳辊梳理,转杯高速旋转进行并合、加捻,最终形成混合均匀的混色彩纱。

**1.2.2 样品制备** 将红、黄、蓝 3 种颜色黏胶纤维以质量比为 10% 的梯度进行纺制,制成捻度为 720 捻/m、线密度为 44.85 tex 的混色纱线,共计 66 种。其中:3 种单色纱线(1#~3#);27 种双组分混色纱(4#~30#);36 种 3 组分混色纱线(31#~66#)。将制备好的混色纱利用针织小圆机制成纬平纹针织物样品,得到对应混色针织样品共 66 个,针织物线圈密度为 112 个/cm<sup>2</sup>。样品实物示意如图 1 所示。





(c) 36种3组分混色纱线

图1 混色纱线实物示意  
Fig. 1 Physical image of blended yarns

**1.2.3 颜色测量** 利用分光光度计测量针织样品在可见光谱360~700 nm下的反射率及各色Lab值,取值间隔为10 nm,可得到共35种波长下的光反射率。每个样品测10次,取平均值。测试环境:D65标准光源、10°视场、30 mm孔径。

文中选用色差及比例误差两项指标对模型精确度进行评价,其中色差均采用CMC(2:1)色差公式。

## 2 Friele模型原理

1941年,DUNTLEY S Q<sup>[14]</sup>经研究得知,在纤维的物理混合中,混色纱反射率与单色纤维反射率必然存在某种加和关系,即

$$f[R_b(\lambda)] = \sum_i x_i f[R_i(\lambda)] \quad (1)$$

式中: $R_b(\lambda)$ 为一定波长下混色织物的理论反射率; $R_i(\lambda)$ 为一定波长下单色织物的实际反射率; $f[R_b(\lambda)]$ 为混色织物关于反射率的函数; $f[R_i(\lambda)]$ 为组成混色纱的单色纤维织物关于反射率的函数; $x_i$ 为对应单色纤维混合质量比,且 $\sum_i x_i = 1$ 。

但简单地直接加和无法解释实际现象,因而必

然存在中间函数可以使这一规律成立。1952年,FRIELE L F C<sup>[13]</sup>在大量实验的基础上确定了中间函数的一种经验公式,即Friele模型,其表达式为

$$f[R(\lambda)] = e^{-\sigma[1-R(\lambda)]^2 \cdot 2R(\lambda)} \quad (2)$$

式中: $R(\lambda)$ 为特定波长下的反射率; $\sigma$ 为可变常量,它的取值与纤维颜色、纤维种类、混合方式、织物组织结构等有关。

式(2)中仅有 $\sigma$ 一个未知量,因此利用Friele模型所得的混色织物理论反射率只与 $\sigma$ 有关。由此可以推出,必然存在一个 $\sigma$ 值,使得利用Friele模型所预测的混色织物理论反射率与实际反射率差异最小,这个 $\sigma$ 值称为最优 $\sigma$ 值。

## 3 模型最优 $\sigma$ 值计算

根据相关研究进行估计<sup>[15]</sup>,Friele模型的最优 $\sigma$ 值一般在0~1之间,因此文中采用赋值法求解 $\sigma$ 值,在[0,1]范围内对 $\sigma$ 进行赋值,赋值间隔为0.001。在 $\sigma$ 已知情况下,根据式(1)和式(2)可求得预测混色织物的理论反射率,通过色度空间转换处理可得到预测混色织物的理论Lab值,将其与混

色针织物实测 Lab 值进行对比,可得到色差  $\Delta E$ ,其中  $\Delta E$  最小时的  $\sigma$  值,即为最优  $\sigma$  值。

为了提高预测结果的准确性,对  $\sigma$  进行赋值,分别计算 27 个双组分混色织物的平均色差,不同  $\sigma$  值与对应织物平均色差的关系如图 2 所示。取织物平均色差最小时对应的  $\sigma$  值作为最优  $\sigma$  值。

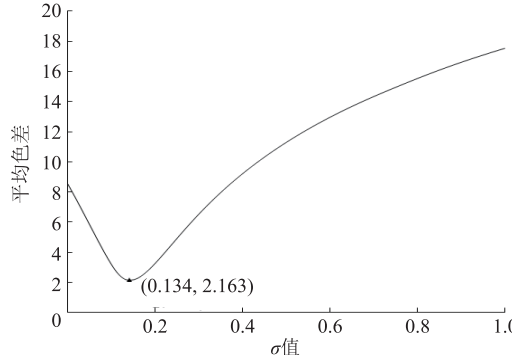


图 2 双组分混色织物的平均色差与  $\sigma$  值的关系

Fig. 2 Relationship between mean color difference and  $\sigma$  value of the two-component mixed-color fabric sample

由图 2 可以看出,在  $[0, 1]$  范围内双组分混色织物样品的平均色差随  $\sigma$  值的增大,呈现出先减小后增大的趋势;当  $\sigma$  值为 0.134 时,样品的平均色差达到最小,为 2.163。因此,最终取  $\sigma = 0.134$  为 Frielle 模型的最优  $\sigma$  值。

## 4 模型最优 $\sigma$ 值验证

### 4.1 基于 Frielle 模型的配色算法

根据所得最优  $\sigma$  值,利用全光谱配色法<sup>[10]</sup>对 3 组分混色针织物样品进行配方预测。假设 3 组分混色针织物样品采用 Frielle 模型计算得到的理论反射率和实际反射率无限接近,即 3 组分混色针织物样品预测颜色和实际颜色色差趋近于零时,利用最小二乘法可求出各单色纤维的质量占比,即混色样本的预测比例配方。此外为了保证各单色纤维预测配方和为 1,需对预测配方进行归一化处理。具体计算方法如下:

对于 3 组分混色织物,式(1)可变换为

$$f[R^m(\lambda)] = x_1 f[R^1(\lambda)] + x_2 f[R^2(\lambda)] + x_3 f[R^3(\lambda)] \quad (3)$$

式中: $R^m(\lambda)$  为各个波长下混色样品的理论反射率; $x_1, x_2, x_3$  分别为红、黄、蓝 3 色纤维所占比重,且  $x_1 + x_2 + x_3 = 1$ ; $R^1(\lambda), R^2(\lambda), R^3(\lambda)$  分别为红、黄、蓝 3 种单色样品在各个波长下的反射率。

假设理论反射率和实际反射率无限接近,则由式(2)推得

$$f[R^m(\lambda)] \approx f[R^s(\lambda)] \quad (4)$$

式中: $R^s(\lambda)$  为各个波长下混色样品的实际反射率。

设

$$\mathbf{F}^s = \begin{bmatrix} f(R_{360}^s) \\ f(R_{370}^s) \\ \vdots \\ f(R_{700}^s) \end{bmatrix},$$

$$\mathbf{F} = \begin{bmatrix} f(R_{360}^1) & f(R_{360}^2) & f(R_{360}^3) \\ f(R_{370}^1) & f(R_{370}^2) & f(R_{370}^3) \\ \vdots & \vdots & \vdots \\ f(R_{700}^1) & f(R_{700}^2) & f(R_{700}^3) \end{bmatrix},$$

$$\mathbf{X} = \begin{bmatrix} X_1 \\ X_2 \\ X_3 \end{bmatrix}. \quad (5)$$

由式(3)~式(5)可推得

$$\mathbf{F}^s \approx \mathbf{F}\mathbf{X}, \quad (6)$$

根据最小二乘法求解可得

$$\mathbf{X} = (\mathbf{F}^T \mathbf{F})^{-1} \mathbf{F}^T \mathbf{F}^s. \quad (7)$$

由于矩阵  $\mathbf{F}, \mathbf{F}^s$  中均为已知量,故代入即可求得矩阵  $\mathbf{X}$  的多个解,从而得到预测比例配方。

### 4.2 配色结果评价指标

通常情况下,可通过比例误差评价预测配方的优劣,比例误差越小,则预测配方越精确。比例误差的计算方法为

$$\Delta r = \sum_i |x_i - x'_i|. \quad (8)$$

式中: $\Delta r$  为比例误差; $x_i$  为实测样品中第  $i$  个有色纤维的占比; $x'_i$  为预测样品中第  $i$  个有色纤维的占比。

### 4.3 配色结果及分析

在求得最优值  $\sigma = 0.134$  的基础上,将 3 组分混色针织物样品根据全光谱配色算法进行比例配方预测,并计算实测样品与预测样品之间的比例误差以及色差,预测结果见表 1。混色样品的预测色度值与实际色度值对比如图 3 所示。

由表 1 可知,3 组分混色织物样品的平均比例误差为 10.21%,平均色差为 0.456 1,且每个样本的预测色差都小于 1;另外,由图 3 可以看出,3 种颜色的实际颜色与预测颜色的色差都在肉眼可接受范围内,这表明  $\sigma = 0.134$  时 Frielle 模型对数码转杯纺黏胶混色织物的配方预测效果较好,能够基本满足生产需求。

**表1 Frielle 模型配色比例预测结果**  
**Tab. 1 Color ratio results predicted by the Frielle model**

样品编号	实际配色比例/%			预测配色比例/%			$\Delta R$	$\Delta E_{CMC}$
	红	黄	蓝	红	黄	蓝		
31 <sup>#</sup>	0.8	0.1	0.1	0.839 0	0.048 2	0.063 2	0.127 6	0.457
32 <sup>#</sup>	0.7	0.1	0.2	0.756 4	0.048 7	0.169 7	0.138 0	0.479
33 <sup>#</sup>	0.6	0.1	0.3	0.640 0	0.053 4	0.282 3	0.104 3	0.223
34 <sup>#</sup>	0.5	0.1	0.4	0.568 4	0.052 1	0.365 0	0.151 3	0.127
35 <sup>#</sup>	0.4	0.1	0.5	0.447 2	0.045 7	0.486 0	0.115 5	0.112
36 <sup>#</sup>	0.3	0.1	0.6	0.322 1	0.047 5	0.605 9	0.080 5	0.293
37 <sup>#</sup>	0.2	0.1	0.7	0.196 7	0.045 0	0.736 1	0.094 3	0.344
38 <sup>#</sup>	0.1	0.1	0.8	0.085 4	0.044 7	0.837 5	0.107 5	0.349
39 <sup>#</sup>	0.7	0.2	0.1	0.755 7	0.135 4	0.086 3	0.134 0	0.402
40 <sup>#</sup>	0.6	0.2	0.2	0.623 3	0.150 9	0.226 7	0.099 1	0.280
41 <sup>#</sup>	0.5	0.2	0.3	0.500 4	0.156 2	0.335 0	0.079 3	0.145
42 <sup>#</sup>	0.4	0.2	0.4	0.405 5	0.157 5	0.427 6	0.075 5	0.293
43 <sup>#</sup>	0.3	0.2	0.5	0.298 0	0.153 0	0.536 7	0.085 8	0.663
44 <sup>#</sup>	0.2	0.2	0.6	0.186 0	0.156 9	0.632 8	0.090 0	0.717
45 <sup>#</sup>	0.1	0.2	0.7	0.109 4	0.162 1	0.714 8	0.062 1	0.634
46 <sup>#</sup>	0.6	0.3	0.1	0.679 9	0.237 7	0.081 2	0.161 1	0.352
47 <sup>#</sup>	0.5	0.3	0.2	0.569 9	0.254 5	0.172 0	0.143 5	0.486
48 <sup>#</sup>	0.4	0.3	0.3	0.443 6	0.268 0	0.286 1	0.089 5	0.261
49 <sup>#</sup>	0.3	0.3	0.4	0.294 8	0.273 9	0.420 7	0.052 0	0.577
50 <sup>#</sup>	0.2	0.3	0.5	0.169 5	0.270 3	0.556 3	0.116 4	0.664
51 <sup>#</sup>	0.1	0.3	0.6	0.064 4	0.284 4	0.643 7	0.094 9	0.532
52 <sup>#</sup>	0.5	0.4	0.1	0.392 8	0.456 2	0.116 1	0.179 5	0.178
53 <sup>#</sup>	0.4	0.4	0.2	0.301 3	0.446 2	0.236 2	0.181 2	0.530
54 <sup>#</sup>	0.3	0.4	0.3	0.236 2	0.429 4	0.326 2	0.119 3	0.609
55 <sup>#</sup>	0.2	0.4	0.4	0.150 7	0.421 6	0.418 2	0.089 2	0.711
56 <sup>#</sup>	0.1	0.4	0.5	0.048 2	0.444 5	0.484 7	0.111 6	0.539
57 <sup>#</sup>	0.4	0.5	0.1	0.334 2	0.550 0	0.100 1	0.115 9	0.316
58 <sup>#</sup>	0.3	0.5	0.2	0.270 0	0.533 0	0.181 1	0.081 9	0.735
59 <sup>#</sup>	0.2	0.5	0.3	0.162 0	0.565 0	0.275 8	0.127 2	0.520
60 <sup>#</sup>	0.1	0.5	0.4	0.068 3	0.540 6	0.395 9	0.076 4	0.629
61 <sup>#</sup>	0.3	0.6	0.1	0.275 8	0.620 1	0.090 8	0.053 5	0.550
62 <sup>#</sup>	0.2	0.6	0.2	0.170 3	0.633 1	0.193 8	0.069 0	0.465
63 <sup>#</sup>	0.1	0.6	0.3	0.066 0	0.635 5	0.299 3	0.070 2	0.412
64 <sup>#</sup>	0.2	0.7	0.1	0.153 5	0.733 5	0.097 2	0.082 9	0.611
65 <sup>#</sup>	0.1	0.7	0.2	0.067 0	0.730 4	0.194 8	0.068 5	0.515
66 <sup>#</sup>	0.1	0.8	0.1	0.074 4	0.817 3	0.094 7	0.048 2	0.710



注:有标记的为实测颜色;未标记为相应的预测颜色。

图 3 3 组分混色织物实测与预测颜色对比色卡

Fig. 3 Measured and predicted color contrast color card of three-component mixed-color fabric

## 5 结语

文中基于 Friile 模型针对数码转杯纺黏胶混色针织物的混色规律进行了研究,利用赋值法求出最优模型参数值  $\sigma = 0.134$ ,并将其用于配色模型的构建;利用全光谱配色算法对所得模型参数进行了配方比例预测验证。结果表明,实验样品的平均比例误差为 10.21%,平均色差为 0.456 1,且均小于 1,预测精确度较好,能够满足基本配色要求。

数码转杯纺技术高速高效、绿色环保、比例可控、混色均匀,且能够与智能计算机配色技术有机结合,提升传统纺织设备智能化程度,因而在色纺纱领域具有较好的发展前景。文中针对数码转杯纺混色纱的研究方法具有普适性,未来可以通过改变织物组织结构、改变混色比例梯度、增加黑白混色、改变分梳辊速度等方法,探究这些变量对 Friile 配色模型参数取值的影响,不断扩大数码转杯纺技术的适用范围,加快数码转杯纺产品生产的智能化进程。

## 参考文献:

- [1] 景慎全. 中国色纺纱行业的技术进步和发展趋势 [J]. 纺织导报, 2020(6): 22-24, 26.  
JING Shenquan. Technological progress and development trend of China's colored spun yarn industry [J]. China Textile Leader, 2020(6): 22-24, 26. (in Chinese)
- [2] 孙芮, 程新雅. 再生纤维素纤维定性的微观研究

[J]. 轻纺工业与技术, 2020, 49(7): 112-113.

SUN Rui, CHENG Xinya. Microscopic study on qualitative identification of regenerated cellulose fiber [J]. Light and Textile Industry and Technology, 2020, 49(7): 112-113. (in Chinese)

[3] 刘稀, 王冬, 张丽平, 等. 低折射率树脂对原液着色黏胶纤维结构和性能的影响 [J]. 纺织学报, 2020, 41(7): 9-14.

LIU Xi, WANG Dong, ZHANG Liping, et al. Effect of low refractive resin on structure and properties of spun-dyed viscose fibers [J]. Journal of Textile Research, 2020, 41(7): 9-14. (in Chinese)

[4] 李世雄, 张生辉, 樊争科, 等. 原液着色涤黏多组分混纺纱的生产 [J]. 棉纺织技术, 2018, 46(8): 59-61.

LI Shixiong, ZHANG Shenghui, FAN Zhengke, et al. Production of mass coloration polyester viscose multicomponent blended yarn [J]. Cotton Textile Technology, 2018, 46(8): 59-61. (in Chinese)

[5] 沈加加, 张志强, 陈燕兵, 等. 基于 Stearns-Noeche1 模型的混色毛条颜色预测 [J]. 纺织学报, 2008, 29(11): 61-66.

SHEN Jiajia, ZHANG Zhiqiang, CHEN Yanbing, et al. Match prediction for blended-color wool tops based on Stearns-Noeche1 model [J]. Journal of Textile Research, 2008, 29(11): 61-66. (in Chinese)

[6] 余谦. 赛络纺技术在混色纱中的实践及应用 [J]. 现代纺织技术, 2001, 9(4): 32-33.

YU Qian. Practice and application of siro spinning technology in mixed color yarn [J]. Advanced Textile Technology, 2001, 9(4): 32-33. (in Chinese)

(下转第 49 页)